

## 보일러 증기발생기 수위 제어 시스템 설계에 관한 연구

허 성광 박 익수 황 재호 \*김 은기  
한국전력공사 기술연구원 자동제어연구실

A study on the design of level control system for boiler drum

Sung-kwang Hur Ik-soo Bak Jae-ho Hwang \*Eun-gee Kim  
Dept. of automation & control Research Center KEPCO

## Abstract.

In this paper, the design of boiler drum level control system which is important in power plant is studied. First of all, pressure compensation of level for boiler drum which is close tank with high temperature and pressure is designed. Physical phenomena of drum level are analysed, controllers are designed, and simulation results are shown. Designed controller have a good performance compare with PI controller. Predictive controller of boiler drum level control system is proposed. It will be good system for boiler drum level control to reject the disturbance according to load increase or decrease.

## 1. 서론

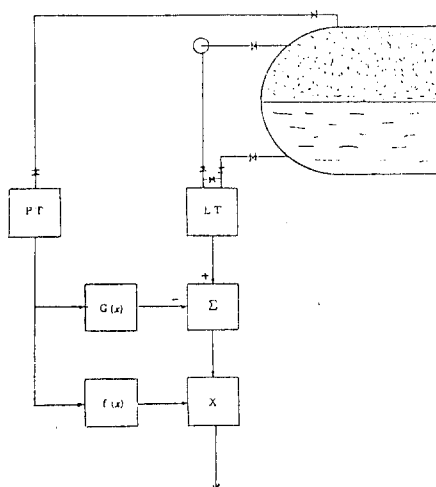
발전소 보일러 제어 시스템에서 드럼수위(Drum level) 제어는 아주 중요하다. 만일 드럼수위 제어가 불안정 하면, 급수펌프(Feedwater pump)의 속도가 불안정하게 되어 증기온도제어가 불안정하게 되고, 증기온도의 변화는 보일러 출구의 증기 압력을 변화 시켜 보일러 연소 제어(AFC) 시스템을 불안정하게 한다. 결국 드럼수위 제어의 불안정은 발전소 전체 제어 시스템을 불안정하게 한다. 또한 드럼수위가 과도하게 높으면 물이 터이번(Turbine)에 유입되어 터이번 날개(Turbine blade)를 상하게 하고, 드럼수위가 과도하게 낮으면 보일러 관(Boiler tube)을 파열시켜 파열 시킨다. 최근 화력 발전소의 용량은 500㎿급으로 대용량화 함에 따라 제어시스템도 복잡하게 되었고, 드럼 내부의 압력·온도도 고온 고압이 되어 수위측정 자체에도 오차가 있으며, 압력에 따른 드럼수위는 복잡한 비선형의 함수로 표현되기 때문에 제어가 어렵게 되었다.

본 논문에서는 2장에서 드럼수위의 전밀 측정에 대해 알아 보고, 3장에서는 드럼수위의 물리적 현상을 따른 모델링과 선형화를 통해서 보일러 드럼의 특성을 파악하고 [1], 4장에서는 인천 화력 발전소의 보일러 드럼 수위 제어 시스템을 설계하여 시뮬레이션 결과를 보았다.

## 2. 드럼 수위의 측정

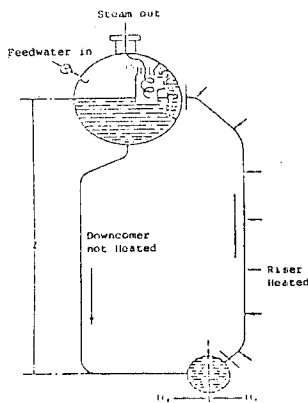
드럼 수위 제어를 위해서는 우선 정밀한 수위측정이 요구된다.

## 2.1 드럼수위 측정 및 전송기 설치[12]

< 그림 2.1 > 드럼 수위 전송기 설치도  
< Fig. 2.1 > Install diagram of drum level transmitter

## 3. 드럼 시스템의 모델링과 선형화 및 최적제어

## 3.1 보일러 드럼 시스템의 물리적 현상

< 그림 3.1 > 급수순환 시스템  
< Fig. 3.1 > water circulation system

## 3.2 평형 방정식 (Balance equation)

드럼 내에서의 증기에 대한 질량 평형식 (Mass balance equation)은

$$\frac{d}{dt} (\rho_s V_t) = X_r q - q_w \quad (3.1)$$

여기서 증기량  $V_t = V_t - V_w - a V_r$  (3.2)로 주어진다. 시스템에서의 물에 대한 질량 평형식은

$$\frac{d}{dt} (\rho_w V_w) = q_{rw} - q_w \quad (3.3)$$

상승관 내에서의 증기기에 대한 질량 평형식은

$$\frac{d}{dt} (\rho_s a V_r) = P/hc - X_r q \quad (3.4)$$

$P/hc$ 는 증발에 의해 생긴 증기를 나타내고,  $X_r q$ 는 출력에서의 증기량을 나타낸다. 방정식 (3.4)에서 인도의 에너지는 상승관에서 적절적으로 물로 변환된다. 순환량 (Circulation flow)  $q$ 는 운동 방정식 (Momentum balance equation)에 의해서 다음과 같이 주어진다.

$$(\rho_w - \rho_s) a V_r = 1/2 k q^2 \quad (3.5)$$

상승관에서의 증기분포(Steam distribution)가 일정하다면

$$X_r = 2 a \rho_s / \rho_w \quad (3.6)$$

## 3.3 상태방정식

평형 방정식(Balance equation)은 상태 방정식형으로 변경할 수 있다.

시스템 입력:  $P, q_{rw}, \frac{dV}{dt}$ 로 하면

$$\begin{cases} V_s \frac{d\rho_s}{dt} - \rho_s \frac{dV_s}{dt} - \rho_s V_r \frac{da}{dt} = X_r q - q_w \\ \rho_w \frac{dV_w}{dt} = q_{rw} - q_w \\ a V_r \frac{d\rho_s}{dt} + \rho_s V_r \frac{da}{dt} = P/hc - X_r q \end{cases} \quad (3.7)$$

$$\text{시스템 출력: } \rho_s, \frac{dV}{dt} (\text{drum level}), a \quad (3.8)$$

$$dl = (V_w + a V_r) / Ad \quad (3.9)$$

### 3.4 선형화 (Linearization)

상태 방정식(State space equation)은 정상 상태(Steady state)를 조건으로 하여 선형화 할 필요가 있다. 즉 테일러 시리즈의 근사치(Taylor series approximation)에 의하여 다음과 같이 표현할 수 있다.

$$\text{비선형화 모델 (nonlinear model)} \quad \dot{\mathbf{X}} = f(\mathbf{X}, \mathbf{U}) \quad (3.14)$$

$$Y = g(\mathbf{X}, \mathbf{U}) \quad (3.15)$$

$$\delta' \dot{\mathbf{X}} \approx A \delta \mathbf{X} + B \delta \mathbf{U} \quad (3.16)$$

$$\delta Y \approx C \delta \mathbf{X} + D \delta \mathbf{U} \quad (3.17)$$

$$A = \frac{\partial f(\mathbf{X}^0, \mathbf{U}^0)}{\partial \mathbf{X}} \quad (3.18)$$

$$B = \frac{\partial f(\mathbf{X}^0, \mathbf{U}^0)}{\partial \mathbf{U}} \quad (3.19)$$

$$C = \frac{\partial g(\mathbf{X}^0, \mathbf{U}^0)}{\partial \mathbf{X}} \quad (3.20)$$

$$D = \frac{\partial g(\mathbf{X}^0, \mathbf{U}^0)}{\partial \mathbf{U}} \quad (3.21)$$

비선형 모델식 (3.7) 을 선형화 하면

$$\frac{d}{dt} \begin{bmatrix} \delta \mathbf{x}_w \\ \delta \mathbf{v} \end{bmatrix} = \begin{bmatrix} a_{11} & 0 & 0 \\ 0 & a_{13} & 0 \\ a_{13} & 0 & a_{33} \end{bmatrix} \begin{bmatrix} \delta \mathbf{x}_w \\ \delta \mathbf{v} \\ \delta a \end{bmatrix} + \begin{bmatrix} b_{11} & b_{12} & b_{13} \\ b_{21} & b_{22} & b_{23} \\ b_{31} & b_{32} & b_{33} \end{bmatrix} \begin{bmatrix} \delta p_w \\ \delta p_v \\ \delta a \end{bmatrix}$$

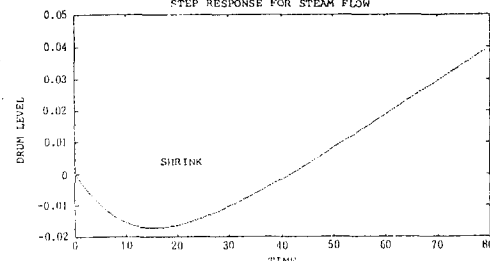
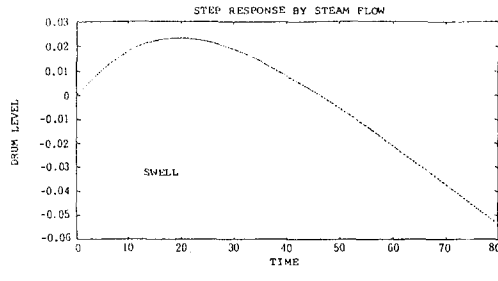
$$\begin{bmatrix} \delta \mathbf{x}_l \\ \delta \mathbf{v} \end{bmatrix} = \begin{bmatrix} c_{11} & 0 & 0 \\ 0 & c_{22} & 0 \\ 0 & 0 & c_{33} \end{bmatrix} \begin{bmatrix} \delta \mathbf{x}_w \\ \delta \mathbf{v} \\ \delta a \end{bmatrix}$$

여기서  $\delta$ 는 정상상태와의 차이를 나타낸다.  
즉  $\delta \mathbf{x}_w = \mathbf{x}_w - \mathbf{x}_w^0$

### 3.5 수축 (Shrink) 팽창 (Swell) 현상

도럼 내에서의 압력 변동은 증기의 수축 팽창 현상을 일으킨다. 즉 증기의 질(quality) 변화를 일으키면서 수위가 변하게 된다. 그런데 드럼내에서의 압력 변화는 증기량의 변화에 의해 일어나게 되므로 이를 전달함수로 표시하면

$$G(s) = K \left[ -\frac{1}{s} + \frac{c}{s+a} \right] \quad (3.22)$$



< 그림 3.2 > 드럼수위의 수축 팽창 현상  
< Fig. 3.2 > Shrink and swell phenomena of drum level

### 3.6 최적제어 (19)

보일러 드럼 수위 제어 시스템

$$\dot{\mathbf{X}} = A \mathbf{X} + B \mathbf{U} \quad (4.1)$$

$$Y = C \mathbf{X} \quad (4.2)$$

목적 함수 (performance index)

$$V = \int_0^T (U^T R_U U + X^T Q_U X) dt \quad (4.3)$$

RICCATI 방정식

$$P_t A + A^T P_t - P_t B R_U^{-1} B^T P_t + Q_U = 0 \quad (4.4)$$

최적 이득 (Optimal gain)

$$K_U = R_U^{-1} B^T P_t \quad (4.6)$$

최적 제어기

$$U^* = -R_U^{-1} B^T P_t X \quad (4.5)$$

폐회로 시스템 (Close loop system)

$$\dot{\mathbf{X}} = (A - B K_U) \mathbf{X} + B \mathbf{U} \quad (4.7)$$

3.7 최적 추정기 (Optimal estimator) (19)

보일러 드럼 수위 제어 시스템에서는 상태변수 (state variable) 를 측정 할 수 없기 때문에 추정기 (estimator) 에 의하여 상태 변수를 구해야 한다.

$$\dot{\mathbf{X}} = A \mathbf{X} + B \mathbf{U} + G \mathbf{w} \quad (4.7)$$

$$Y = C \mathbf{X} + v \quad (4.8)$$

$$E[w] = E[v] = 0$$

$$E[w w^T] = Q_r$$

$$E[v v^T] = R_r$$

$$\dot{\mathbf{X}}_w = A \mathbf{X}_w + K_r (C \mathbf{X}_w - Y) + B \mathbf{U} \quad (4.9)$$

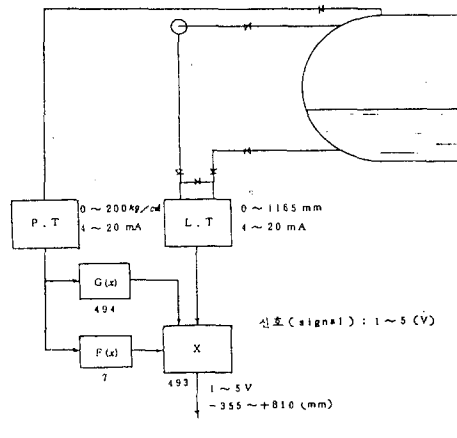
RICCATI 방정식

$$P_t A' + A' P_t - P_t C' R_r^{-1} C P_t + Q_r = 0 \quad (4.10)$$

$$K_r = P_t C' R_r^{-1} \quad (4.11)$$

4.1 인천화력 발전소 보일러 드럼수위 제어시스템 설계

#### 4.1 압력 보정



\* X모듈 (module) 내에 바이ア스 (Bias)

보정을 위한 강상기기 있음.

< 그림 4.2 > 압력 보정 모듈 구성도

< Fig. 4.2 > Module block diagram for pressure compensation

#### 4.2 인천 화력 발전소의 보일러 드럼 규격

인천 화력 발전소의 드럼(drum) 하강관(downcomer) 상승관(riser tube)의 규격

드럼 수면의 면적 :  $29.396 + 2.272 = 31.668 \text{ m}^2$

상승관과 하강관에 물을 채웠을때의 물의 양 : 92 톤

드럼에 물을 채웠을때의 물의 양 : 23 톤

하강관 10 개의 물의 양 : 36.92 톤

정상 상태에서의 드럼 압력 :  $180 \text{ kg/cm}^2$

$$\begin{aligned}
A_t &= 31.668 \text{ m}^2 \\
V_r &= 92 - 36.82 = 55.18 \text{ m}^3 \\
V_t &= 92 \times 23 = 115 \text{ m}^3 \\
V_s &= 23 \times 2 / 3 = 15.33 \text{ m}^3 \\
k &= 0.01 \\
\rho_w &= 551.2933 \text{ kg/m}^3 \\
\rho_a &= 128.3 \text{ kg/m}^3 \\
h &= 1711.5833 \text{ J/kg}
\end{aligned}$$

100 % 부하에서

$$\begin{aligned}
P &= 4.25 \times 10^8 \text{ w} & \rho_a &= 128.3 \text{ kg/m}^3 \\
q_{rw} &= 250 \text{ kg/sec} & V_w &= 77.853 \text{ m}^3 \\
q_s &= 250 \text{ kg/sec} & a &= 0.39537
\end{aligned}$$

### 4.3 보일러 드럼 수위 시스템의 제어기 설계

100 % 부하에서 A, B, C Matrix 를 구하면

$$A = \begin{bmatrix} -4.0150e-001 & 0 & 0 \\ 0 & -2.5692e-001 & 0 \\ 0 & 0 & -1.3398e-001 \end{bmatrix}$$

$$B = \begin{bmatrix} 1.5728e-005 & 6.2649e-003 & -3.3185e-002 \\ 0 & 1.8139e-003 & -1.8139e-003 \\ 3.4059e-009 & -1.9306e-005 & 1.0227e-004 \end{bmatrix}$$

$$C = \begin{bmatrix} 1.0000e+000 & 0 & 0 \\ 0 & 3.1578e-002 & 0 \\ 0 & 0 & 1.0000e+000 \end{bmatrix}$$

$$R = \begin{bmatrix} 1 & 0 & 0 \\ 0 & 1 & 0 \\ 0 & 0 & 1 \end{bmatrix}$$

$$Q_c = \begin{bmatrix} 1.0000e+007 & 0 & 0 \\ 0 & 9.9715e+003 & 5.5023e+005 \\ 0 & 5.5023e+005 & 4.0361e+007 \end{bmatrix}$$

$$K_c = \begin{bmatrix} 1.4929e+000 & 1.2581e+001 & 1.0935e+001 \\ 5.8852e+002 & 1.5993e+001 & 3.3316e+003 \\ -3.6948e+003 & 1.9206e+001 & 7.0188e+002 \end{bmatrix}$$

$$P_c = \begin{bmatrix} 9.4168e+004 & 2.9014e+003 & 3.4648e+005 \\ 2.9014e+003 & 6.9059e+004 & 2.3542e+006 \\ 3.4648e+005 & 2.3542e+008 & 1.6105e+008 \end{bmatrix}$$

4.4 보일러 드럼 시스템에 적용하기 위한 제어 시스템 설계  
방전소의 실제 보일러 드럼 시스템은 상태변수를 측정 할 수 없기 때문에 주성기를 구성해야 한다.

주성기 Xe 는 다음과 같이 구 할 수 있다.

$$Qr = \begin{bmatrix} 1.1405e+001 & 7.1558e+002 & -3.5147e+001 \\ 7.1558e+002 & 6.5805e+001 & -2.2052e+000 \\ -2.5147e+001 & -2.2052e+000 & 1.0831e-001 \end{bmatrix}$$

$$Rr = \begin{bmatrix} 1 & 0 & 0 \\ 0 & 1 & 0 \\ 0 & 0 & 1 \end{bmatrix}$$

$$G = \begin{bmatrix} 1 & 0 & 0 \\ 0 & 1 & 0 \\ 0 & 0 & 1 \end{bmatrix}$$

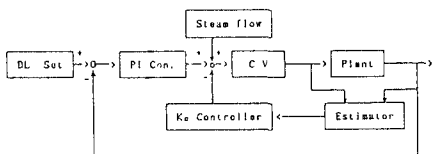
$$Kr = \begin{bmatrix} 1.0639e+002 & -3.6134e-001 & -3.2909e-001 \\ 6.7159e+000 & 4.5498e+000 & -2.1285e-002 \\ 3.2909e-001 & 1.1167e-003 & 1.0266e-003 \end{bmatrix}$$

$$Pr = \begin{bmatrix} 1.0639e+002 & 6.7159e+000 & -3.2909e-001 \\ 6.7159e+000 & 1.4526e+002 & -2.1285e-002 \\ -3.2909e-001 & -2.1285e-002 & 1.0266e-003 \end{bmatrix}$$

$$\dot{X}_e = A X_e + K_r ( C X_e - Y ) + B U$$

즉 입력 U 와 출력 Y 를 측정하여 추정기 Xe 를 구하고, 이 Xe 로 부터 Kr 를 이용하여 제어기 Pc 를 계산 할 수 있다.

또한 드럼 수위 제어를 위해서는 금수량을 제어 하는 수 밖에 없고, 제어밸브(Control valve)의 저연요소가 있기 때문에 다음과 같은 제어 시스템을 설계 할 수 있다.



< 그림 4.9 > PI제어기와 최적제어기를 이용한 제어 시스템  
< Fig. 4.9 > Control system using the PI and optimal controller

Control valve 의 전달 함수 =  $1 / ( 3 S + 1 )$

$$\text{Plant 의 전달 함수} = \frac{0.4127 S + 0.1340}{17459 S^2 + 2339 S}$$

$$qc = 1.0e-003 * \begin{bmatrix} 0 & 0 & 0 \\ 0 & 0.6208 & 0.2015 \\ 0 & 0.2015 & 0.0654 \end{bmatrix}$$

$$rc = 1.0000e-003$$

$$qf = \begin{bmatrix} 10000 & 0 & 0 \\ 0 & 0 & 0 \\ 0 & 0 & 0 \end{bmatrix}$$

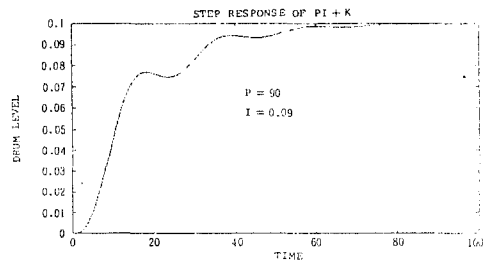
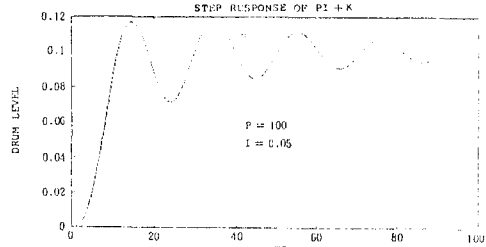
$$rf = 0.0100$$

$$g = 1$$

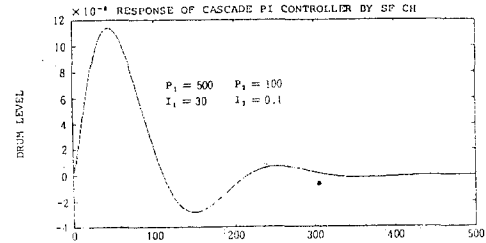
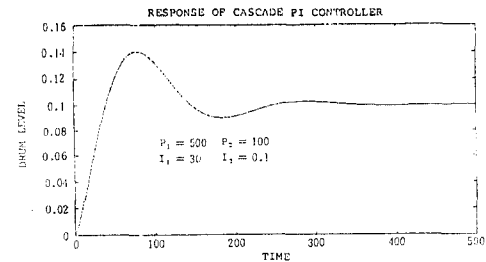
$$kc = \begin{bmatrix} 1.1219 & 1.1536 & 0.2558 \end{bmatrix}$$

$$ke = 1.0e+004 * \begin{bmatrix} -0.0031 \\ 0.0557 \\ 1.7262 \end{bmatrix}$$

PI 값 설정에 따른 최적제어기의 시뮬레이션 결과는 <그림 4.10>에 나타냈고, 인천 T/P 의 실제 PI제어시스템 시뮬레이션 결과는 <그림 4.11>에 나타났다.



< 그림 4.10 > PI제어기와 최적제어 시스템을 이용한 시뮬레이션 결과  
< Fig. 4.10 > Simulation result of PI + optimal controller



< 그림 4.11 > 인천 T/P 실제 PI제어 시스템 시뮬레이션 결과  
< Fig. 4.11 > Simulation result of PI control system for Incheon T/P

비선형 Model을 적용하고 실제 보일러에서 압력을 일정하기 때문에 A11 을 무시하면 다음과 같이 간략화 할 수 있다.

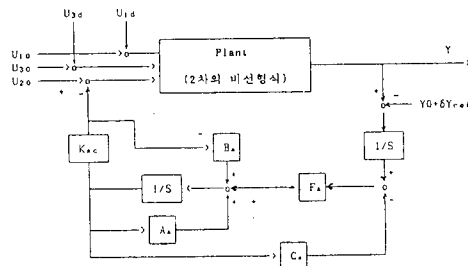
간략화한 플랜트의 2차식을 구하면

$$A = \begin{bmatrix} .00000E+00 & .00000E+00 \\ .00000E+00 & -1.33978E-01 \end{bmatrix}$$

$$B = \begin{bmatrix} 1.81390E-03 \\ -1.93060E-05 \end{bmatrix}$$

$$C = \begin{bmatrix} 3.15776E-01 & 1.74245E+01 \end{bmatrix}$$

실제 시스템에 적용하기 위한 제어 시스템의 block 모는 다음과 같다.



< 그림 4.12 > 간략화한 제어 시스템 block 도

< Fig 4.12 > Block diagram of simple control system

제어기본에 적분기를 추가한 Augment Matrix

$$\begin{aligned} \delta \dot{X}_a &= A_a \delta X_a + B_a \delta U \\ \delta Y_a &= C_a \delta X_a \end{aligned}$$

$$A_a = \begin{bmatrix} A & 0 \\ C & 0 \end{bmatrix}, \quad B_a = \begin{bmatrix} B \\ 0 \end{bmatrix}$$

$$C_a = \begin{bmatrix} 0 & 0 & 1 \end{bmatrix}$$

$$A_a = \begin{bmatrix} .00000E+00 & .00000E+00 & 0 \\ .00000E+00 & -1.33978E-01 & 0 \\ 3.15776E-01 & 1.74245E+01 & 0 \end{bmatrix}$$

$$B_a = \begin{bmatrix} 1.81390E-03 \\ -1.93060E-05 \\ 0 \end{bmatrix}$$

$$C_a = \begin{bmatrix} 0 & 0 & 1 \end{bmatrix}$$

$$Q_{af} = \begin{bmatrix} 3.290E+02 & -3.501E-00 & .000E+00 \\ -3.501E-00 & 3.727E-02 & .000E+00 \\ .000E+00 & .000E+00 & .000E+00 \end{bmatrix}$$

$$R_{af} = 1.000E-02$$

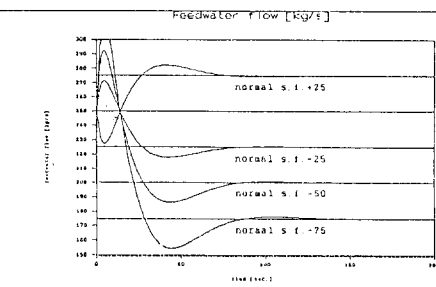
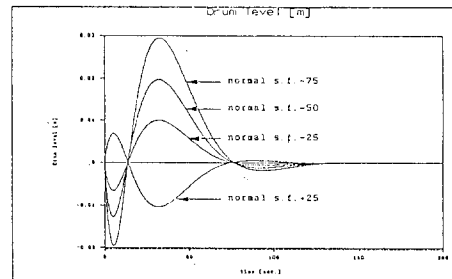
$$Q_{ac} = \begin{bmatrix} 0 & 0 & 0 \\ 0 & 0 & 0 \\ 0 & 0 & 1 \end{bmatrix}$$

$$R_{ac} = 0.01$$

$$K_{ac} = [6.941E+01 \ 1.160E+03 \ 1.000E+01]$$

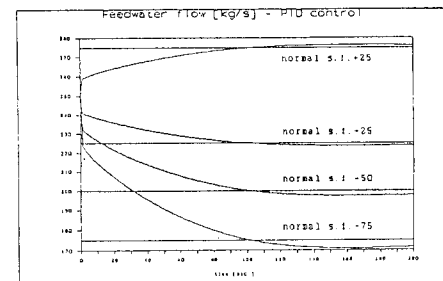
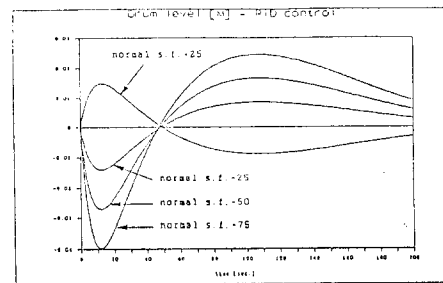
$$F_a = \begin{bmatrix} 1.814E+02 \\ -1.856E+00 \\ 7.062E+00 \end{bmatrix}$$

Simulation 은 비선형 플랜트식을 이용 했고, < 그림 4.13 > 에서는 최적 제어시스템에서 외란(disturbance) 즉 증기량을 10% 20% 30% Step 변화 시켰을때 드럼 수위와 제어 상태와 급수량의 변화를 나타 냈고, < 그림 4.17 > 에서는 인천 화력발전소 제어 시스템의 PI 설정치를 적용한 시뮬레이션 결과이다.



< 그림 4.13 > 최적 제어 시스템에서 외란 변화에 따른 수위와 급수량 제어 시뮬레이션 결과

< Fig 4.13 > Simulation result of drum level and feedwater flow by disturbance change in the optimal control system



< 그림 4.17 > 인천 화력발전소 제어 시스템의 PI 설정치를 적용하여 외란에 따른 수위와 급수량 제어 시뮬레이션 결과

< Fig 4.17 > Simulation result of drum level and feedwater flow by disturbance change in the PI control system of Inchon T/P

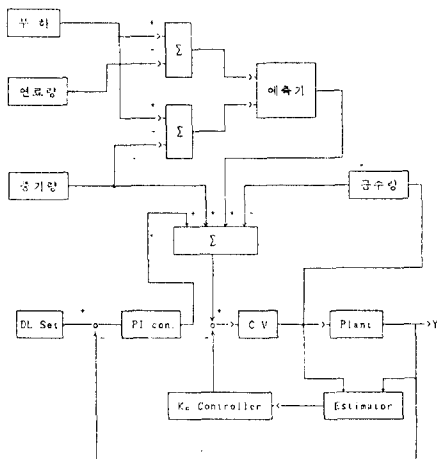
#### \* Simulation 분석

<그림 4.10>에서 PI 제어기와 최적제어기를 사용한 시뮬레이션 결과는 10 cm 설정치를 step으로 변경 했을때 약 90 초 후에는 드럼수위가 안정 되었고 P 값과 I 값을 결정하는데 쉽게 구 할수 있었으나, <그림 4.11>에서 PI 제어기를 cascade로 구성하여 시뮬레이션을 했을 경우엔 400 초가 지나야만 안정되었고 P I 값을 결정하는데 어떠한의 시행 차도를 범하였다. 상기 시뮬레이션은 플랜트를 선형화 한 Model로 행한것으로써 비선형인 실제 시스템과는 다르기 때문에 <그림 4.13>에서는 플랜트를 비선형 Model로 하고 출력 error가 있을때 적분하는 적분기를 설치하여 최적제어 시스템을 구성한 시뮬레이션으로써 외란(증기량)에 대해 드럼수위가 130 초 후에는 안정 되었으나, <그림 4.17>에서 PI 제어기를 cascade로 구성하여 시뮬레이션을 했을 경우엔 200 초가 지나야 안정되지 아니하였다.

#### 4.5 보일러 드럼 수위의 예측제어 ( Predictive control ) 시스템

기존의 보일러 드럼 수위제어 시스템은 3 입력 ( 수위, 증기유량, 급수유량 ) 을 중심으로 한 Cascade, Feedforward 계이방식으로 드럼수위를 제어 했으나, 보일러 드럼 모델에서 알수 있듯이 연료에 따라서도 수위의 변화를 볼수 있었고, 증기량에 따른 증기의 수축 팽창 현상에 의하여 수위의 변화를 알수 있기 때문에 다음과 같은 예측제어기를 보자.

예측제어 시스템의 block diagram 은 다음과 같다.



<그림 4.18> 발전소 드럼 수위 예측제어 시스템 block도  
<Fig. 4.18> Block diagram of predict control system  
for drum level in the power plant

#### 5. 결론

본 논문에서는 화력 발전소에서 중요한 제어 시스템인 보일러 드럼 수위 제어 시스템을 설계 하였다. 화력 발전소 보일러 드럼은 고온 고압의 일회 텁크로서 정확한 수위측정이 어렵고 증기량의 변화에 따라 드럼 시스템의 수축 팽창 현상에 의하여 제어하기 어려운 시스템이다. 2장에서는 정확한 드럼 수위를 측정하기 위하여 압력 보정에 관한 시스템을 구성 했고, 3장에서는 보일러 드럼 시스템의 선형화된 모델을 분석 했으며 드럼 시스템의 수축 팽창 현상을 조사 했다. 드럼 시스템에서의 수축 팽창 현상은 증기량의 계단 변화 (Step change)에 대하여 제어를 억동적으로 행하게 하므로써 제어 시스템을 불안정하게 하는 요인이었다. 또한 저속 제어기 (Lowlim controller)와 최적추정기 (Optimal estimator)에 대해 기술했고, 4장에서는 인천 화력 발전소의 보일러 드럼 수위제어 시스템을 설계 했다. 우선 인천화력 발전소의 보일러 데이터에 의하여 A, B, C, Matrixes 를 구하고, 이를 이용하여 계단 및 앤펄스입력에 대한 드럼 수위의 응답을 구해서 물리적인 드럼 수위의 특성을 파악 한후, 최적 제어기를 설계하기 위하여 가중치 행렬 Q 와 R 을 여러번의 시뮬레이션을 통하여 적정한 값을 구했다. 시뮬레이션 결과에서의 같이 최적제어기를 사용한 결과가 PI제어기를 사용한 결과와 보다 외란에 대해 제어 상태가 양호 함을 볼수 있었다. 또한 그동안의 발전소 운전 경험과 드럼의 물리적인 특성을 연구한 결과를 이용하여 최적 예측기에 의한 제어 시스템을 제시 하였다.

앞으로 더욱 연구되어야 할 사항은 다음과 같다.

- 1) 상기 제어기를 인천화력 발전소에 적용하여 입증하는 연구
- 2) 보일러 드럼의 모델을 확장시켜 상태변수를 쉽게 구 할 수 있는 방법을 고색 하는 연구
- 3) 현재 제어 이론을 바탕에 인구하여 발전소 전체 시스템을 안정화 시키는 제어기를 설계 적용 하는 연구

#### 참고문헌

- 1) K.J.ASTRÖM and R.D.BELL " A simple drum level model " Report TFR-7163, Department of automatic control, Lund Institute of Technology, Sweden, 1979.
- 2) K.J.ASTRÖM and K.ELIUD " A simplified non linear drum boiler model " I.J.C., PP.739-740, 1976.
- 3) K.J.ASTRÖM and K.ELIUD " A simplified non linear model of a drum boiler-turbine unit," I.J.C., PP.145-169, 1979.
- 4) K.J.ASTRÖM and R.D.BELL " Dynamic models for boiler-turbine-alternators unit:data logs and parameter estimation for 160 MW unit " Report TFR-3192, Department of automatic control, Lund Institute of Technology, Sweden, 1987.
- 5) H.K.NAM " Modeling and control system design study of coal fired power plant " Ph.D dissertation, The Univ. of Texas at Austin, 1986.
- 6) J.C.DOBIE and G.STEIN, " Multivariable feedback design : Concepts for a classical / modern synthesis " IEEE Trans. Auto. control, Vol. AC-26, pp.4-16, Feb., 1981.
- 7) J.C.DOBIE " Guaranteed margin for LQ regulators " IEEE Trans. Auto. control, Vol.AC-23, pp.756-757, Aug. 1978.
- 8) E.Sornka and U.Shabot " On the robustness of LQ regulators " IEEE Trans. Auto. control, Vol.AC-29, pp.661-665, 1984.
- 9) J.C.DOBIE and G.Stein " Robustness with observers " IEEE Trans. Auto. control, Vol.AC-24, pp.607-611, 1979.
- 10) 민우현 외 " 개선된 LQG/LQR 방법에 의한 보일러-터빈 제어 시스템의 설계 " 전기식화자 199-209 2월호 1990.
- 11) EGAT Thermal power plant #3,4 unit Operation manual
- 12) " 발전소 제어 시스템의 운영관리 기술, " 한국전력공사 기술연구원 pp. 102-150, 1985.
- 13) J.MKinley,A.Loredo,B.Sleeter, and R.Thayer " Technology assessment and development plan for instrumentation and control systems in fossil fired power plants " Bailey controls company, pp.56-83.
- 14) Bailey Network-90 system hardware manual
- 15) Bailey Network-90 system software manual
- 16) M.Hill-Wakil " Power plant technology " McGraw-Hill book company, pp.91-95 , 1984.
- 17) "Modern power station practice (Volume 6)" Pergamon press, pp.95-99 , 1971.
- 18) " Steam / its generation and use " Babcock & wilcox , pp.1.5 -1.9
- 19) John B.Moore " Linear optimal control " Prentice Hall, Inc, pp.31-48, 1971.
- 20) S.Miyazuka,H.Kishimoto,H.Shiota, and H.Nakamura " Advanced control based on optimal regulator by distributed control system " 2th international conference improved fossil-fired power plant Nov. 1988.